

H形鋼ばりの弾塑性荷重倒れ座屈曲線(近似曲線)

金沢大学 正員 吉田博

1. まえがき

ばりの横倒れ座屈にかねて、断面形状、残荷応力等の影響は、文献1), 2)等に述べられているが、本研究では、弾塑性横倒れ座屈と以下の仮定により、フランジやbとはIIの高さdの比、 $\alpha = b/d$ 、 $\beta = d_w/d$ の比のみにより、任意の残荷応力分、任意の荷重条件および任意の境界条件のもとで計算できることを示す。

2. 用いた仮定

通常のはりの横倒れ座屈と用いる解法の仮定の外に、次の仮定を利用す。

- (1) 残荷応力分布は、図-1(a)に示す、正延H形鋼に対して理想化したものと、図-1(b)に示す、溶接H形鋼に対して理想化したものと用い、フランジの厚エ方には一様であるとする。

- (2) はりの弱軸まわりの曲げ剛性および曲げねじり剛性にかねて、ウェブの影響を無視する。この仮定は通常用いられるH形鋼に対しては満足されるものと考えられる。

- (3) IIの全塑性モーメント M_p と、ウェブを無視したIIの全塑性モーメント M'_p の間に、

$$\gamma_1 = M_p/M'_p = 0.980 + 0.158\beta$$

の関係があり、はりの St. Venant のねじり定数 K_T とウェブを無視した II の St. Venant のねじり定数の間に、

$$\gamma_2 = K_T/K'_T = 0.984 + 0.126\beta$$

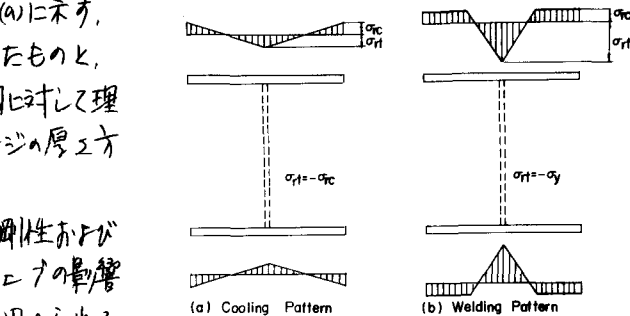


図-1 仮定による残留応力分布

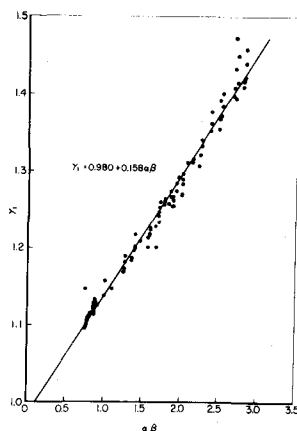


図-2 $\gamma_1 - \alpha\beta$ の関係

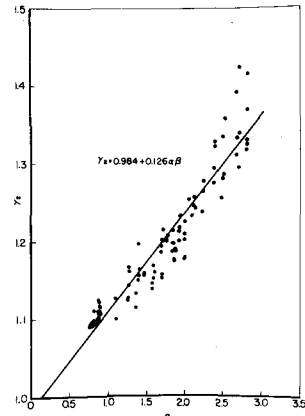


図-3 $\gamma_2 - \alpha\beta$ の関係

の関係があるものとする。これはASTM規格のNon-Compact Sectionを除く115種の強H形鋼より、最小二乗法を用いて決定したもので、図-2が図-3に並べられて示す。

3. 断面諸係数

図-4に示すようにフランジが b と ηd 等分、フランジ厚 t と ηd 等分し、 ij 番目の微小要素の x 座標、 y 座標をそれぞれ x_{ij} 、 y_{ij} と表わすことにして、

$$x\text{軸まわりの断面2次モーメント: } I_y = M_{xy} K_{xy} b^3 d$$

$$曲げ剛性定数: I_w = M_{zw} K_{zw} b^3 d^3$$

$$St. Venant の等価剛性定数: \bar{K}_T = M_{kt} K_{kt} b d^3$$

$$\text{塑性断面係数: } Z = M_z b d^2$$

ここで β をひずみ、 α を β の降伏比とす。

$$M_{xy} = \frac{1}{12}(1-\beta), \quad M_{zw} = \frac{1}{192}(1-\beta)(1+\beta)^2,$$

$$M_{kt} = \frac{1}{12}(1-\beta)^3, \quad M_z = \frac{1}{4}(1-\beta)^2$$

ここで β をひずみ、 K は非弾性域での各要素での減率を示す。

$$K_{xy} = \frac{6}{nm} \sum_E z_i^2, \quad K_{zw} = \frac{6}{nm} \sum_Z z_i^2$$

$$K_{kt} = 1.0 - \frac{6}{nm(1+\beta+\beta^2)} \bar{\nu} \varepsilon_y \left[\left\{ \sum_E \frac{\varepsilon}{z_j} y^2 + \sum_P y^2 \right\} + \alpha^2 \left\{ \sum_E \frac{\varepsilon}{z_j} z^2 + \sum_P z^2 \right\} \right]$$

ここで β をひずみ。 \sum_E は弾性要素のみの和を示す。 \sum_P は塑性要素のみの和を示す。 $\bar{\nu}$ はヤング模量とせん断弾性係数の比 $\bar{\nu} = E/G$ 、 ε は要素のひずみ、 z は材料の降伏ひずみを示す。また、

$$\bar{K}_T = Y_2 \left(1.0 - \frac{\int \alpha^2 dA}{I_2 K_T'} \right) K_T'$$

である。 α は要素の応力と、 d はせん断中心から要素までの距離を示す。

4. 解析法

解析は文献3)によると、伝達ストリップ法を無次元化して用いることにす。はりの分割要素の長さを l 、各要素に作用する一様荷重モーメントを M_0 とする。無次元量 $\bar{l} = l/b$ かつ $\bar{M}_0 = M_0/M_p = M_0/Y_1 M_p'$ とする。上述の M 、 K を用いると、文献3)附録の橋間伝達ストリップ法は、状態量ベクトルを

$$V = \{ u/b \theta \phi \gamma b S/\sigma_y d^2 M_1/\sigma_y d^3 M_2/\sigma_y d^3 M_0/\sigma_y d^4 \}$$

とおくと、

$$F = \begin{bmatrix} f_{11} & \cdots & f_{18} \\ \vdots & & \vdots \\ f_{81} & \cdots & f_{88} \end{bmatrix}$$

にて示される。ここで、 u ははりの横変位、 θ は横変位のたわみ角、 ϕ はねじり角、 γ はねじり率、 S は横方向のせん断力、 M_1 は横方向のねじりモーメント、 M_2 はねじりモーメント、 M_0 はベイモーメントであり、 σ_y は降伏応力である。また、

$$\bar{J}_1 = \sqrt{\frac{1}{2} \left\{ \frac{1}{\bar{D}} \frac{K_{kt} M_{kt}}{K_{zw} M_{zw}} + \sqrt{\frac{1}{\bar{D}^2} \left(\frac{K_{kt} M_{kt}}{K_{zw} M_{zw}} \right)^2 + 4 \frac{M_0}{\sigma_y d^2} \frac{1}{K_{xy} K_{zw}} \frac{M_2^2}{M_1 M_0}} \right\}}$$

$$\bar{d}_2 = \sqrt{\frac{1}{2} \left\{ -\frac{1}{\nu} \frac{K_{ext} M_{ext}}{K_{aw} M_{aw}} + \sqrt{\frac{1}{\nu^2} \left(\frac{K_{ext} M_{ext}}{K_{aw} M_{aw}} \right)^2 + 4 M_0^2 \varepsilon_y^2 \frac{1}{K_{ay} K_{aw}} \frac{M_z^2}{M_{ay} M_{aw}}} \right\}}$$

$$\bar{A}_1 = \bar{d}_1^2 + \bar{d}_2^2, \quad \bar{A}_2 = \bar{d}_1 \bar{d}_2, \quad \bar{A}_3 = \bar{d}_1^2 - \bar{d}_2^2$$

$$\bar{D}_1 = -\cosh \bar{l} \bar{d}_1 + \cos \bar{l} \bar{d}_2, \quad \bar{D}_2 = \bar{d}_1 \sinh \bar{l} \bar{d}_1 + \bar{d}_2 \sin \bar{l} \bar{d}_2, \quad \bar{D}_3 = \bar{d}_2 \sinh \bar{l} \bar{d}_1 - \bar{d}_1 \sin \bar{l} \bar{d}_2,$$

$$\bar{D}_4 = \bar{d}_1^2 \cosh \bar{l} \bar{d}_1 + \bar{d}_2^2 \cos \bar{l} \bar{d}_2, \quad \bar{D}_5 = \bar{d}_2^2 \cosh \bar{l} \bar{d}_1 + \bar{d}_1^2 \cos \bar{l} \bar{d}_2, \quad \bar{D}_6 = \bar{d}_1^3 \sinh \bar{l} \bar{d}_1 + \bar{d}_2^3 \sin \bar{l} \bar{d}_2,$$

$$\bar{D}_7 = \bar{d}_1^3 \sinh \bar{l} \bar{d}_1 - \bar{d}_2^3 \sin \bar{l} \bar{d}_2, \quad \bar{D}_8 = \bar{d}_2^4 \cosh \bar{l} \bar{d}_1 - \bar{d}_1^4 \cos \bar{l} \bar{d}_2, \quad \bar{D}_9 = \bar{d}_2^5 \sinh \bar{l} \bar{d}_1 - \bar{d}_1^5 \sin \bar{l} \bar{d}_2$$

ΣΠΗΛΙΑΣ Κ,

$$f_{11}=1.0, \quad f_{12}=\bar{l}, \quad f_{14}=M_0 \varepsilon_y \frac{1}{\nu} \frac{K_{ext}}{K_{aw} K_{aw}} \frac{M_z M_{ext}}{M_{ay} M_{aw}} \frac{1}{\bar{A}_2^2} \left(\bar{l} - \frac{\bar{D}_6}{\bar{A}_1 \bar{A}_2} \right) \frac{1}{\alpha},$$

$$f_{15} = -\frac{\varepsilon_y}{\alpha} \frac{1}{K_{ay} M_{ay}} \frac{1}{\bar{A}_1^2} \left(\frac{\bar{D}_6}{\bar{A}_1 \bar{A}_2} + \bar{D}_3 \right), \quad f_{16} = -\frac{\varepsilon_y}{\alpha^2} \frac{1}{K_{ay} M_{ay}} \frac{1}{\bar{A}_2^2} \left(\frac{\bar{D}_8}{\bar{A}_1} + \bar{A}_3 \right),$$

$$f_{17} = \frac{\varepsilon_y}{\alpha} M_0 \frac{1}{K_{ay} K_{aw}} \frac{M_z}{M_{ay} M_{aw}} \frac{1}{\bar{A}_2^2} \varepsilon_y \left(\frac{\bar{D}_6}{\bar{A}_1 \bar{A}_2} - \bar{l} \right), \quad f_{18} = \frac{\varepsilon_y}{\alpha^2} M_0 \frac{1}{K_{ay} K_{aw}} \frac{M_z}{M_{ay} M_{aw}} \frac{1}{\bar{A}_2^2} \varepsilon_y \left(\frac{\bar{D}_5}{\bar{A}_1} - 1 \right),$$

$$f_{22}=1.0, \quad f_{24}=\frac{1}{\alpha} M_0 \varepsilon_y \frac{1}{\nu} \frac{K_{ext}}{K_{aw} K_{aw}} \frac{M_z M_{ext}}{M_{ay} M_{aw}} \frac{1}{\bar{A}_2^2} \left(1 - \frac{\bar{D}_5}{\bar{A}_1} \right), \quad f_{25}=-\frac{\varepsilon_y}{\alpha} \frac{1}{K_{ay} M_{ay}} \frac{1}{\bar{A}_2^2} \left(\frac{\bar{D}_8}{\bar{A}_1} + \bar{A}_3 \right),$$

$$f_{26}=-\frac{\varepsilon_y}{\alpha^2} \frac{1}{K_{ay} M_{ay}} \frac{\bar{D}_6}{\bar{A}_1 \bar{A}_2}, \quad f_{27}=\frac{\varepsilon_y^2}{\alpha^2} M_0 \frac{1}{K_{ay} K_{aw}} \frac{M_z}{M_{ay} M_{aw}} \frac{\bar{D}_3}{\bar{A}_1 \bar{A}_2}, \quad f_{28}=\frac{\varepsilon_y^2}{\alpha^2} M_0 \frac{1}{K_{ay} K_{aw}} \frac{M_z}{M_{ay} M_{aw}} \frac{\bar{D}_3}{\bar{A}_1 \bar{A}_2},$$

$$f_{33}=1.0, \quad f_{34}=\left(\bar{l} + \frac{1}{\nu} \frac{K_{ext}}{K_{aw} K_{aw}} \frac{M_{ext}}{M_{aw} \bar{A}_1 \bar{A}_2} \frac{\bar{D}_2}{\bar{A}_1} \right), \quad f_{35}=\frac{1}{m_0} \frac{1}{M_z} \left(\frac{\bar{D}_6}{\bar{A}_1 \bar{A}_2} - \bar{l} \right),$$

$$f_{36}=\frac{1}{\alpha M_0} \frac{1}{M_z} \left(\frac{\bar{D}_5}{\bar{A}_1} - 1 \right), \quad f_{37}=-\varepsilon_y \frac{1}{K_{aw} M_{aw}} \frac{\bar{D}_3}{\bar{A}_1 \bar{A}_2}, \quad f_{38}=\frac{\varepsilon_y}{\alpha} \frac{1}{K_{aw} M_{aw}} \frac{\bar{D}_1}{\bar{A}_1},$$

$$f_{4a}=1.0 - \frac{1}{\nu} \frac{K_{ext} M_{ext}}{K_{aw} M_{aw}} \frac{\bar{D}_1}{\bar{A}_1}, \quad f_{45}=\frac{1}{m_0} \frac{1}{M_z} \left(\frac{\bar{D}_5}{\bar{A}_1} - 1.0 \right), \quad f_{46}=\frac{1}{\alpha M_0} \frac{1}{M_z} \frac{\bar{A}_2 \bar{D}_2}{\bar{A}_1},$$

$$f_{47}=\varepsilon_y \frac{1}{K_{aw} M_{aw}} \frac{\bar{D}_1}{\bar{A}_1}, \quad f_{48}=-\frac{\varepsilon_y}{\alpha} \frac{1}{K_{aw} M_{aw}} \frac{\bar{D}_2}{\bar{A}_1}, \quad f_{54}=\frac{m_0}{\nu} \frac{K_{ext} M_z M_{ext}}{K_{aw} M_{aw}} \frac{\bar{D}_1}{\bar{A}_1},$$

$$f_{55}=\frac{\bar{D}_5}{\bar{A}_1}, \quad f_{56}=\frac{1}{\alpha} \frac{\bar{A}_2 \bar{D}_2}{\bar{A}_1}, \quad f_{57}=m_0 \frac{M_z}{K_{aw} M_{aw}} \frac{\bar{D}_1}{\bar{A}_1} \varepsilon_y, \quad f_{58}=m_0 \frac{M_z}{K_{aw} M_{aw}} \frac{\bar{D}_2}{\bar{A}_1},$$

$$f_{59}=-\frac{m_0}{\alpha} \varepsilon_y \frac{M_z}{K_{aw} M_{aw}} \frac{\bar{D}_2}{\bar{A}_1}, \quad f_{64}=\alpha M_0 \frac{1}{\nu} \frac{K_{ext} M_z M_{ext}}{K_{aw} M_{aw}} \frac{\bar{D}_2}{\bar{A}_1 \bar{A}_2}, \quad f_{65}=\alpha \frac{\bar{D}_6}{\bar{A}_1 \bar{A}_2}$$

$$f_{66}=\frac{\bar{D}_5}{\bar{A}_1}, \quad f_{67}=-m_0 \frac{M_z}{K_{aw} M_{aw}} \varepsilon_y \frac{\bar{D}_3}{\bar{A}_1 \bar{A}_2}, \quad f_{68}=m_0 \varepsilon_y \frac{M_z}{K_{aw} M_{aw}} \frac{\bar{D}_1}{\bar{A}_1},$$

$$f_{74}=\frac{1}{\varepsilon_y} K_{ext} M_{ext} \left(\frac{1}{\nu} - \frac{1}{\nu^2} \frac{K_{ext} M_{ext}}{K_{aw} M_{aw}} \frac{\bar{D}_1}{\bar{A}_1} - \frac{1}{\nu} \frac{\bar{D}_4}{\bar{A}_1} \right),$$

$$f_{75}=\frac{1}{m_0 \varepsilon_y} \frac{1}{M_z} \left\{ \frac{1}{\nu} K_{ext} M_{ext} \left(\frac{\bar{D}_5}{\bar{A}_1} - 1 \right) + K_{aw} M_{aw} \frac{\bar{A}_2 \bar{D}_1}{\bar{A}_1} \right\},$$

$$f_{76}=\frac{1}{\alpha M_0} \frac{1}{M_z} \left\{ \frac{1}{\nu} K_{ext} M_{ext} \bar{D}_3 - K_{aw} M_{aw} \bar{A}_2 \bar{D}_2 \right\} \frac{\bar{A}_2}{\bar{A}_1}, \quad f_{77}=\frac{1}{\nu} \frac{K_{ext} M_z M_{ext}}{K_{aw} M_{aw}} \frac{\bar{D}_1}{\bar{A}_1} + \frac{\bar{D}_4}{\bar{A}_1},$$

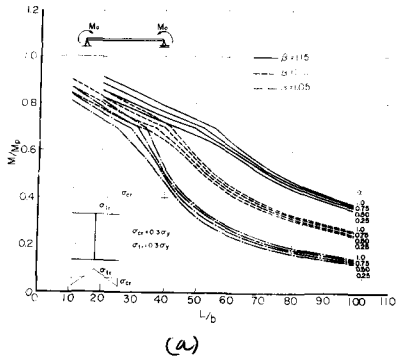
$$f_{78}=-\frac{1}{\alpha} \frac{1}{\nu} \frac{K_{ext} M_{ext}}{K_{aw} M_{aw}} \frac{\bar{D}_2}{\bar{A}_1} + \frac{1}{\alpha} \frac{\bar{D}_7}{\bar{A}_1}, \quad f_{79}=-\frac{\alpha}{\varepsilon_y} K_{ext} M_{ext} \frac{1}{\nu} \frac{\bar{D}_2}{\bar{A}_1},$$

$$f_{85}=-\alpha \frac{1}{m_0 \varepsilon_y} K_{aw} \frac{M_z}{M_z} \frac{\bar{A}_2 \bar{D}_3}{\bar{A}_1}, \quad f_{86}=\frac{1}{m_0 \varepsilon_y} K_{aw} \frac{M_z}{M_z} \frac{\bar{A}_2 \bar{D}_1}{\bar{A}_1}, \quad f_{87}=\alpha \frac{\bar{D}_2}{\bar{A}_1}, \quad f_{88}=\frac{\bar{D}_4}{\bar{A}_1}$$

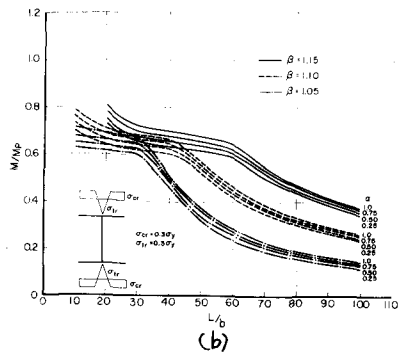
Ι=2 ΦΩΗΗΖ. ΕΓΓΙΔΙ, ΣΕ ΤΩΣ ΣΗΜΑΤΑ Η ΔΙΑΦΟΡΑ.

5. 計算例

通常用いられるH形断面では、 α は0.25~1.0であり、 $1/\beta$ は1.05~1.15の範囲であるので、 $1/\beta = 1.05, 1.10, 1.15$ の3つの場合とすて、 $\alpha = 0.25, 0.50, 0.75, 1.0$ の各4つの場合について計算した。図-5(a)と(b)は、中央荷重を受けた場合と、2端端単純支持の場合と、図-6(a)と(b)は両端固定の場合と、集中荷重受けた場合の横倒山底屈曲線を示したもの。

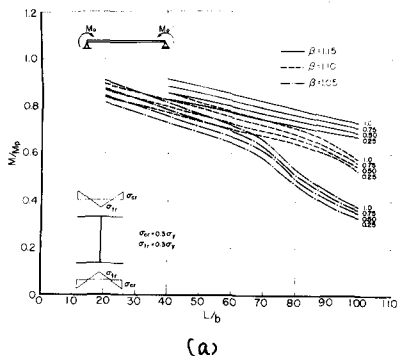


(a)

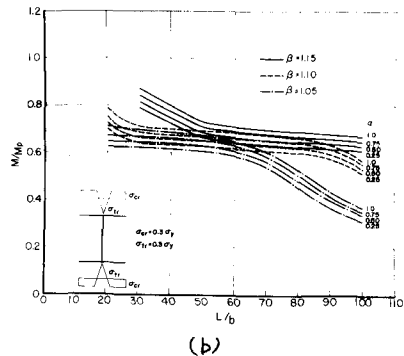


(b)

図-5 横倒山底屈曲線(両端単純支持)



(a)



(b)

図-6 横倒山底屈曲線(両端固定)

エーテー勾配を有する場合、分布荷重を受けた場合、集中荷重を受けた場合等の荷重も同様に行うこととする。しかし、スパン中間で荷重が受けた場合を連続ばかりとし、2点同様の屈曲線を得ることとする。

6. 参考文献

- 1) T. V. Galambos, "Inelastic Lateral Buckling of Beams", Journal of Structural Div., Proc. of ASCE, Vol. 89, No. ST5, Oct., 1963, pp. 217~242.
- 2) D. A. Nethercot, "Factors Affecting the Buckling Stability of Partially Plastic Beams", Institution of Civil Engineers, Proceedings, Part 2, May, 1972, pp. 285~304.
- 3) 吉田・井本, "荷重をうけたときの弹性から塑性軸横倒山底屈曲行", 土木学会論文報告集, NO. 208, Dec., 1972, pp. 1~12.